

КРАТКИЕ СООБЩЕНИЯ

**СТРУКТУРЫ a-Si : H/Si
С ПЕРЕСТРАИВАЕМОЙ ОБЛАСТЬЮ
СПЕКТРАЛЬНОЙ ЧУВСТВИТЕЛЬНОСТИ**

Комиренко Р. П., Литвиненко С. В., Скрышевский В. А.,
Стриха В. И., Кочка Я., Стухлик И.

При создании каскадных структур, используемых для преобразования световой энергии в электрическую, требуется согласование ширины запрещенной зоны для верхнего и нижнего элементов [1-4]. Структура типа a-Si : H/Si на кремниевой подложке не оптимизирована по этому требованию, однако, поскольку в ней имеются встречно включенные барьеры в слоях с разной энергией фотовозбуждения, можно ожидать получения спектральных характеристик фототока, зависящих от приложенного смещения, а это позволяет создавать приборы с другими функциональными возможностями.

Технология изготавления

Каскадный фотоэлемент Pt—(i) a-Si : H—(n⁺) a-Si : H—Ti—SiO_x—p-Si—Ni создавался следующим образом. После стандартной химической обработки пластины p-Si ($\rho = 10 \text{ Ом} \cdot \text{см}$) подвергались анодному окислению в потенциостатическом режиме (раствор 0.04 мол/л KNO₃ в этиленгликоле) до оптимальной толщины $d_{\text{SiO}_x} \sim 2-3 \text{ нм}$ [5]. Электроннолучевым способом наносилась пленка Ti толщиной до 10 нм, на тыльной стороне электрохимически — омический никелевый контакт толщиной до 1 мкм. Слои (i) a-Si : H ($d=500 \text{ нм}$) получались путем разложения 100 % силана в высокочастотном разряде 8 МГц мощностью 5 Вт, площадь электродов $S=50 \text{ см}^2$, температура подложки составляла не менее 210 °C, давление в камере — 25 Па, расход газа — 30 Бар·см³/мин. Для улучшения омического контакта создавались n⁺-слои толщиной 20 нм путем добавления в камеру 1 % PH₃. В качестве барьера металла магнетронным распылением наносилась Pt толщиной, подбираемой для 50 % пропускания (антиотражающие покрытия не использовались). Площадь фоточувствительной структуры Ti—SiO_x—p-Si—Ni составляла 0.13 см², а структуры Pt—(i) a-Si : H—H—(n⁺) a-Si : H—Ti — 0.07 см². Титан использовался, с одной стороны, как барьерный металл к p-Si и создавал фотоэлемент поверхностью-барьерного типа, с другой — как омический контакт к a-Si : H и, наконец, с третьей — в качестве электрода к структуре. Наличие третьего электрода позволяет включать оба гетероперехода в независимые электрические цепи. В этом случае условие равенства фототоков для обоих гетеропереходов является несущественным.

Экспериментальные результаты и их обсуждение

Структуры представляют собой два барьера Шоттки, включенных навстречу друг другу, с высотами барьеров $\varphi_{B_1}=1.2 \text{ эВ}$ (Pt—a-Si : H) и $\varphi_{B_2}=0.8 \text{ эВ}$ (Ti—SiO_x—p-Si) (рис. 1, a). Поэтому при освещении белым светом $V_{xx_1} > V_{xx_2}$. С другой стороны, $I_{ka_2} > I_{ka_1}$, что связано как с большей площадью контактной

структуре $Ti-SiO_x-p-Si$, так и с неоптимизированной толщиной верхнего слоя. При оптически и электрически последовательном включении элементов зависимость $V_{xx}(i_\phi)$ является функцией спектрального состава освещения (рис. 1, а) в отличие от случая одинарного фотоэлемента, когда выполняется соотношение $V_{xx} = \frac{n k T}{e} \ln \left(\frac{i_\phi}{i_s} + 1 \right)$. При последовательном включении справедливо, что

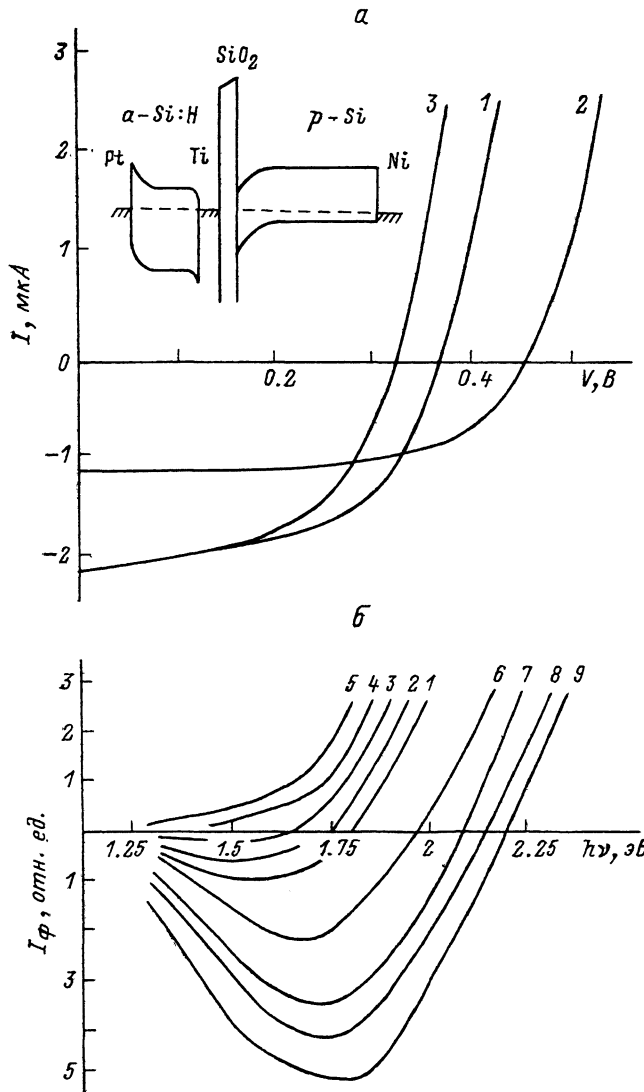


Рис. 1.

а) вольт-амперные характеристики структур при освещении. 1 — освещение светом лампы накаливания 30 мВт/см²; 2 — то же, через фильтр СЗС-23; 3 — освещение лампой накаливания с дополнительной ИК подсветкой ($\lambda_\phi=1.27$ эВ). б) спектральные зависимости фототока структуры Pt—a-Si:H—Ti—SiO_x—p-Si—Ni при различных смещениях (относительно Pt-электрода). 1 — 0, 2 — -10, 3 — -20, 4 — -50, 5 — -100, 6 — +10, 7 — +20, 8 — +50, 9 — +100 мВ.

$I_1 = I_2 = I$, $V_1 + V_2 = V$, и параметры ВАХ будут определяться как $n = n_1 + n_2$, $\ln i_s = \frac{n_1 \ln i_{s1} + n_2 \ln i_{s2}}{n_1 + n_2}$. При коротковолновом освещении V_{xx} определяется барьером Pt—a-Si:H, длинноволновое освещение увеличивает вклад барьера Ti—p-Si, имеющего большие I_{ss} и меньшие V_{xx} .

На рис. 1, б показаны спектральные характеристики фототока структур Pt—(i) a-Si:H—(n⁺) a-Si:H—Ti, Ti—p-Si—Ni при сквозном включении. Видно, что падение напряжения на структуре, фотоэдс (V_{xx}) структуры при

сквозном включении зависят не только от интенсивности освещения (I_{ks}), но и от его спектрального состава. При освещении светом с энергией ε_{g2} (Si) $< h\nu < \varepsilon_{g1}$ (a -Si : H) фототок и фотоэдс обусловлены вкладом структуры Ti—

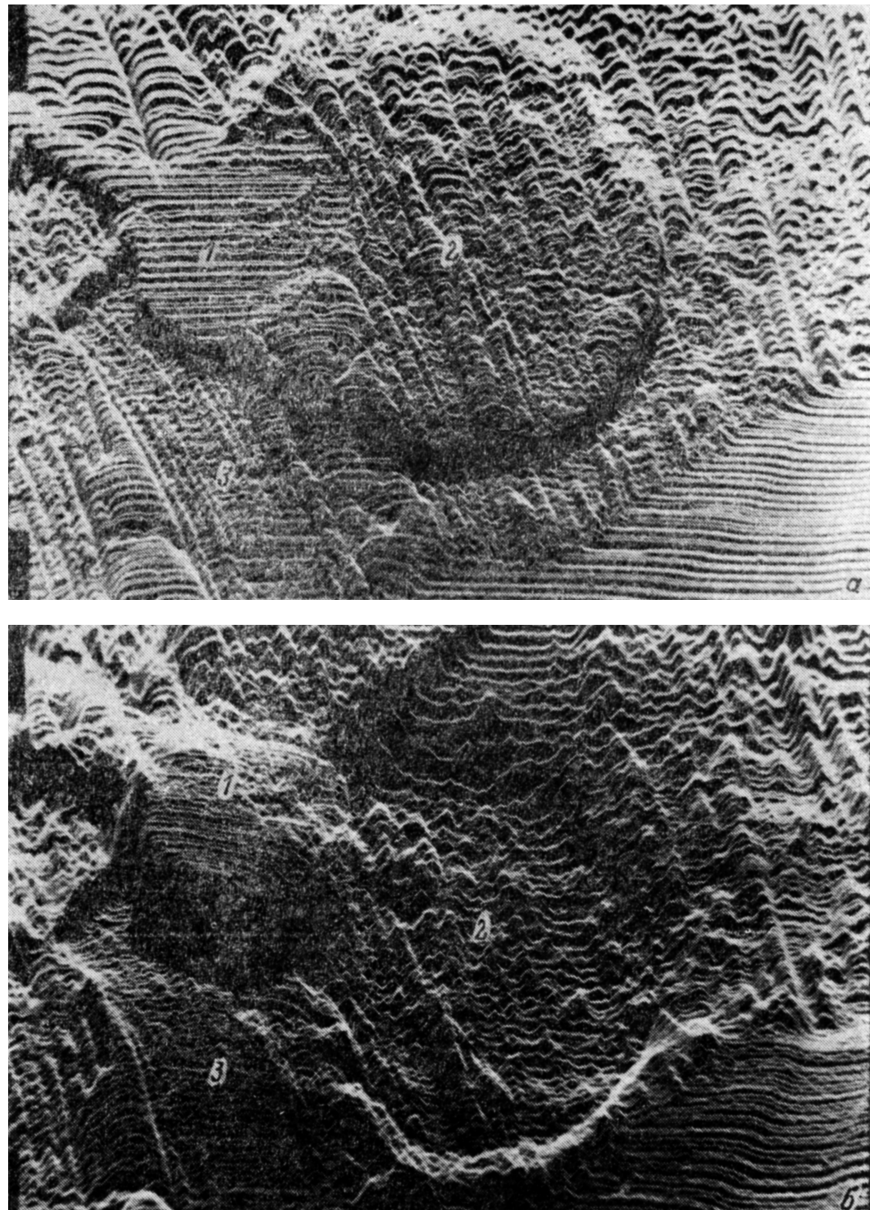


Рис. 2. EBIC-распределение исследуемых структур при сквозном включении. V, B: а — 0, б — 3 (на платиновом электроде).

p -Si—Ni. Однако, поскольку проводимость нефотовообужденного a -Si : H очень мала, сквозной фототок в этом случае мал.

При $h\nu > \varepsilon_{g1}$ (a -Si : H) фототок и фотоэдс обусловлены совместным вкладом a -Si : H и p -Si, при переходе к более коротким длинам волн вклад структуры на a -Si : H увеличивается. Из-за малой темновой проводимости аморфного

кремния сквозной фототок полярности, соответствующей вкладу Si, удается получить лишь при шунтировании структуры $a\text{-Si : H}$ некоторым сопротивлением.

Приложение внешнего смещения к структуре Pt (...) Ni приводит одновременно к изменению фотоактивных барьеров в монокристаллическом и аморфном кремнии (один из них увеличивается, другой уменьшается) и, следовательно, к сдвигу спектральной зависимости фототока при сквозном включении по оси $h\nu$.

Инверсия знака фототока за счет изменений высот барьеров при внешнем смещении хорошо наблюдается при исследовании распределения токов, наведенных электронным лучом (EBIC-распределение). EBIC-распределение исследовалось на установке BS 300 «Tesla» и представлено на рис. 2. При $V=0$ видна разнознаковость фотоэдс барьеров Pt— $a\text{-Si : H}$ (участок 2) и Ti— $p\text{-Si}$ (участок 3) относительно цулевого сигнала, получаемого при сканировании тоокотводящей металлизации, практически непрозрачной для луча электронов (участок 1). Приложение внешнего смещения с положительным потенциалом на Pt на участке 2 приводит к инверсии знака фототока от $a\text{-Si : H}$. При этом наблюдается переход от режима барьерной фоточувствительности к объемной фотопроводимости [6]. На участке 3 видно увеличение фототока от барьера на $p\text{-Si}$.

Необходимо отметить, что фотодиодные структуры, состоящие из двух изотипных гетеропереходов с двойным обеднением, с управляемой спектральной характеристикой, уже исследовались ранее, например в [7, 8]. По сравнению с ними исследуемая структура характеризуется как широким диапазоном перестройки $h\nu_{rp}$ ($i=0$) от 1.4 до 2.2 эВ, так и возможностью использования ее в качестве каскадных фотоэлементов. Данные структуры можно использовать и в качестве пирометра с нулевой индикацией.

Для эффективного использования этих структур в качестве каскадного солнечного элемента необходимо подключать элементы в отдельные цепи. Эффективность Si-элемента за $a\text{-Si : H}$ -фильтром понижается примерно на 40–50 %. КПД используемых $a\text{-Si : H}$ -элементов колеблется в пределах 1.5–2 %. Поэтому общий КПД каскадной структуры не увеличивается по сравнению с одинарным фотоэлементом. Однако простой расчет показывает, что при использовании более эффективных элементов на аморфном кремнии с КПД 8–10 % и КПД одинарного кремниевого элемента с КПД 10 % получим, что общий КПД может быть равен $0.6 \cdot 10 + 8 - 10 = 14 - 16 \%$, т. е. эффективность может существенно повыситься.

Таким образом, в работе получены следующие результаты:

— показана возможность управления спектральной характеристикой фототока в исследуемой каскадной структуре с переменой знака сквозного фототока в широком спектральном диапазоне путем приложения внешнего смещения благодаря изменению высот барьеров при встречном включении;

— определена возможность создания эффективного фотопреобразователя каскадного типа с включением составляющих его фотоэлементов в отдельных электрических цепях, для которого несущественны требования, предъявляемые к гетеропереходам.

Список литературы

- [1] Loferski J. J. // Conf. Rec. IEEE Photovoltaic Spec. 1976. V. 12. P. 957–964.
- [2] Fan J. C. C., Palm B. J. // Sol. Cells. 1983. V. 10. P. 81–98.
- [3] Fonash S. J., Rothwarf A. // Current Topic in Photovoltaics / Ed. T. J. Coutts, J. D. Meakin. London, 1985. P. 15–61.
- [4] Шарма Б. Л., Пурохит Р. К. Полупроводниковые гетеропереходы. М., 1979. 232 с.
- [5] Вуль А. Я., Саченко А. В. // ФТП. 1983. Т. 17. В. 8. С. 1361.
- [6] Комиренко Р. П., Кильчицкая С. С., Скрышевский В. А., Стриха В. И. // Поверхность. 1986. № 3. С. 148–150.
- [7] Рудь Ю. В., Таиров М. А. // ЖТФ. 1989. Т. 59. В. 2. С. 101–105.
- [8] Wolffensbuttel R. F. // Sensors and Activators. 1989. V. 17. N 1-2. P. 249–261.